

КРАТКИЕ СООБЩЕНИЯ

05; 11; 12

Журнал технической физики, т. 59, в. 3, 1989

ИССЛЕДОВАНИЕ КЕРАМИКИ $\text{YBa}_2\text{Cu}_3\text{O}_{7-\delta}$ МЕТОДОМ ВИМС

Л. С. Палатник, Ю. А. Климоцкий

В настоящей работе излагаются результаты исследования эмиссии вторичных ионов из высокотемпературной сверхпроводящей керамики (ВТСП) $\text{YBa}_2\text{Cu}_3\text{O}_{7-\delta}$ [1] методом вторичной ионной масс-спектрометрии (ВИМС) [2, 3]. Образцы представляют собой диски диаметром 6 мм, толщиной 3 мм. Параметры сверхпроводящего перехода: $T_c = 95$ К, $\Delta T_c = 1.5$ К.

На рис. 1 представлены линии масс-спектра I вторичных ионов, выбиравшихся из ВТСП керамики. Масс-спектр I снят с помощью масс-спектрометра МС 7201М (первичный пучок — ионы He^+ с энергией $E_0 = 5$ кэВ, $J_0 = 1 \cdot 10^{-4}$ А/см²). На рис. 2 приводится тот же спектр I (толстые линии) и масс-спектр II (тонкие линии), снятый на масс-спектрометре МИ 1201Э (первичный пучок — ионы Ar^+ , $E_0 = 5$ кэВ, $J_0 = 1 \cdot 10^{-7}$ А/см²).

Приведем результаты анализа масс-спектров I и II. Вторичные ионы масс-спектра I можно представить в виде 5 групп: 1) атомарные ионы решетки $\text{YBa}_2\text{Cu}_3\text{O}_{7-\delta}$ (Cu^+ , Y^+ , Ba^+ , Ba^{++} , O^+); 2) молекулярные ионы решетки (YO^+ , BaO^+ , BaCuO^+); 3) ионы гидрооксидных соединений (BaOH^+ , YOH^+ , Y(OH)_2^+ , CuOH^+ , CuHOH^+); 4) ионы загрязнений и примесей (Na^+ , K^+ , Ca^+ , Al^+ , P^+ , CaO^+ , AlH_2^+ , AlH_3^+); 5) ионы сорбированных на поверхности образца остаточных газов и их осколки (C^+ , CH^+ , CH_2^+ , CH_3^+ , OH^+ , H_2O^+).

Ионы третьей группы могут выбываться либо из тонких слоев поверхностных гидрооксидов, образовавшихся вследствие адсорбции паров воды, либо из гидрооксидных соединений, являющихся естественными примесями исследуемого образца $\text{YBa}_2\text{Cu}_3\text{O}_{7-\delta}$.

Как видно из рис. 2, в спектрах I и II имеются различия не только в интенсивности соответствующих массовых линий, но и в составе наблюдаемых вторичных ионов. Так, в масс-спектре II обнаружены линии ионов BaH^+ , YH^+ , Fe^+ , Cr^+ , а также ионов оксидов и гидрооксидов бария Ba_2O^+ , Ba_2O_2^+ , Ba_2OH^+ , Ba_2OOH^+ . Отсутствие последних в масс-спектре I объясняется ограниченностью массового диапазона спектрометра МС 7201М.

Обнаруженные различия в масс-спектрах I и II, а также то обстоятельство, что они сняты при существенно разных плотностях зондирующего пучка ионов, мы использовали для выяснения важного вопроса — к какому типу примесных соединений образца относятся некоторые вторичные ионы, содержащие гидрооксидную группу: к образовавшимся при взаимодействии поверхности образца с окружающими газами («поверхностные» соединения) или к находившимся в виде естественных примесей в объеме исходного образца («объемные» соединения).

Использование разных по природе первичных ионов (He^+ и Ar^+) для получения масс-спектров I и II не оказалось существенного влияния на результаты эксперимента. Роль первичного пучка при выбивании вторичных частиц сводится к передаче импульса и инициированию каскада столкновений в решетке твердого тела [4]. При одинаковой энергии первичного пучка импульс, передаваемый ионом He^+ , в 3 раза меньше, чем ионом Ar^+ . Поскольку в наших экспериментах плотности первичных пучков различались в 10^3 раз, то различием в природе первичного пучка в масс-спектрах I и II можно пренебречь.

Интенсивность J_s , масс-линий вторичных ионов, выбиравшихся из «объемных» соединений, пропорциональна интенсивности J_0 зондирующего пучка [3].

Для «поверхностных» соединений, образовавшихся в условиях динамического равновесия между их образованием за счет адсорбции частиц из газовой фазы и десорбции, а также вследствие их распыления ионным пучком, используем соотношение Я. М. Фогеля [3]

$$J_s = \frac{\alpha n_0 c p J_0}{c p + v + \sigma n_0 J_0}, \quad (1)$$

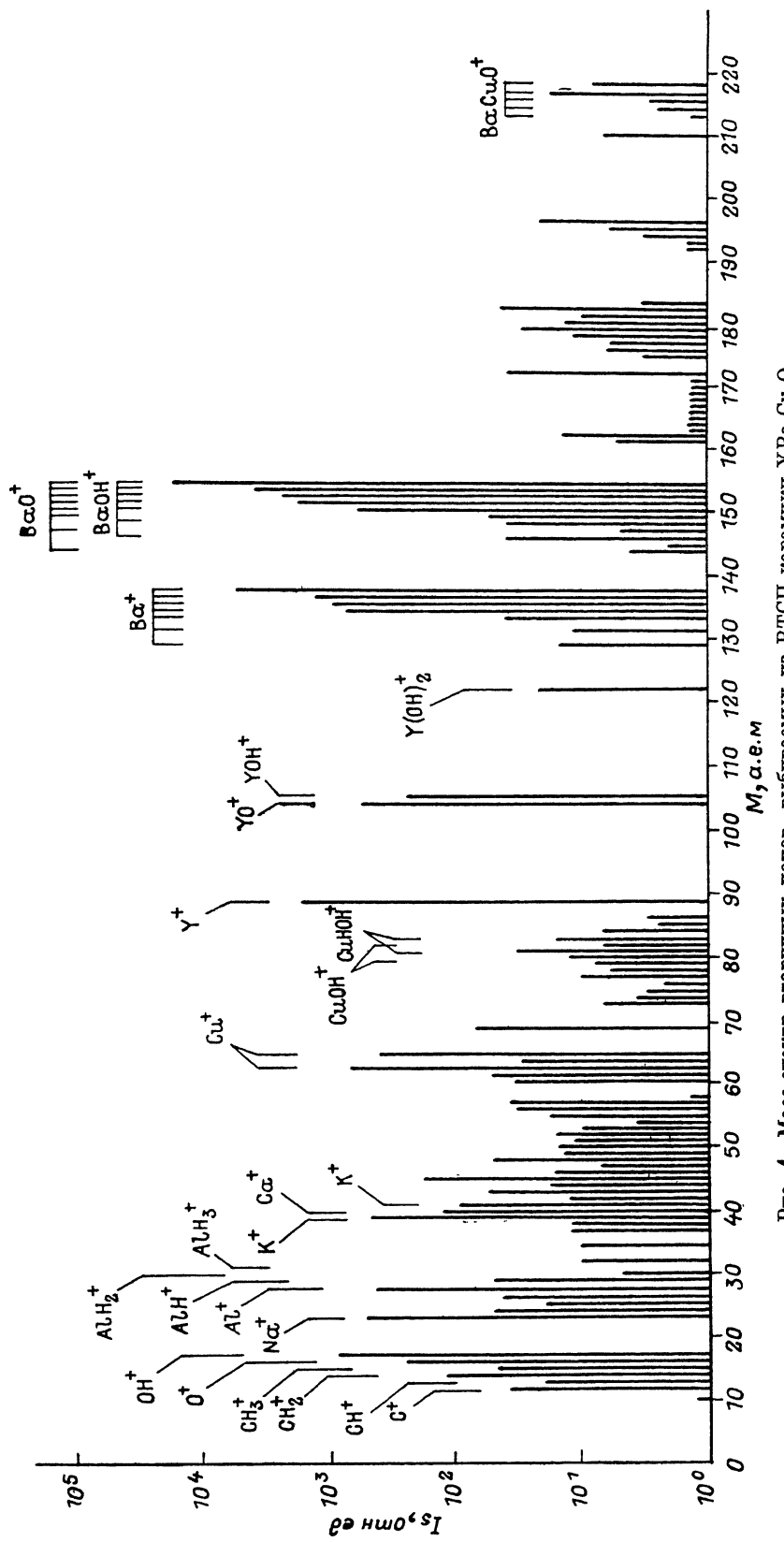


Рис. 4. Масс-спектр вторичных ионов, выбиаемых из ВТСП керамики $\text{YBa}_2\text{Cu}_3\text{O}_{7-\delta}$.

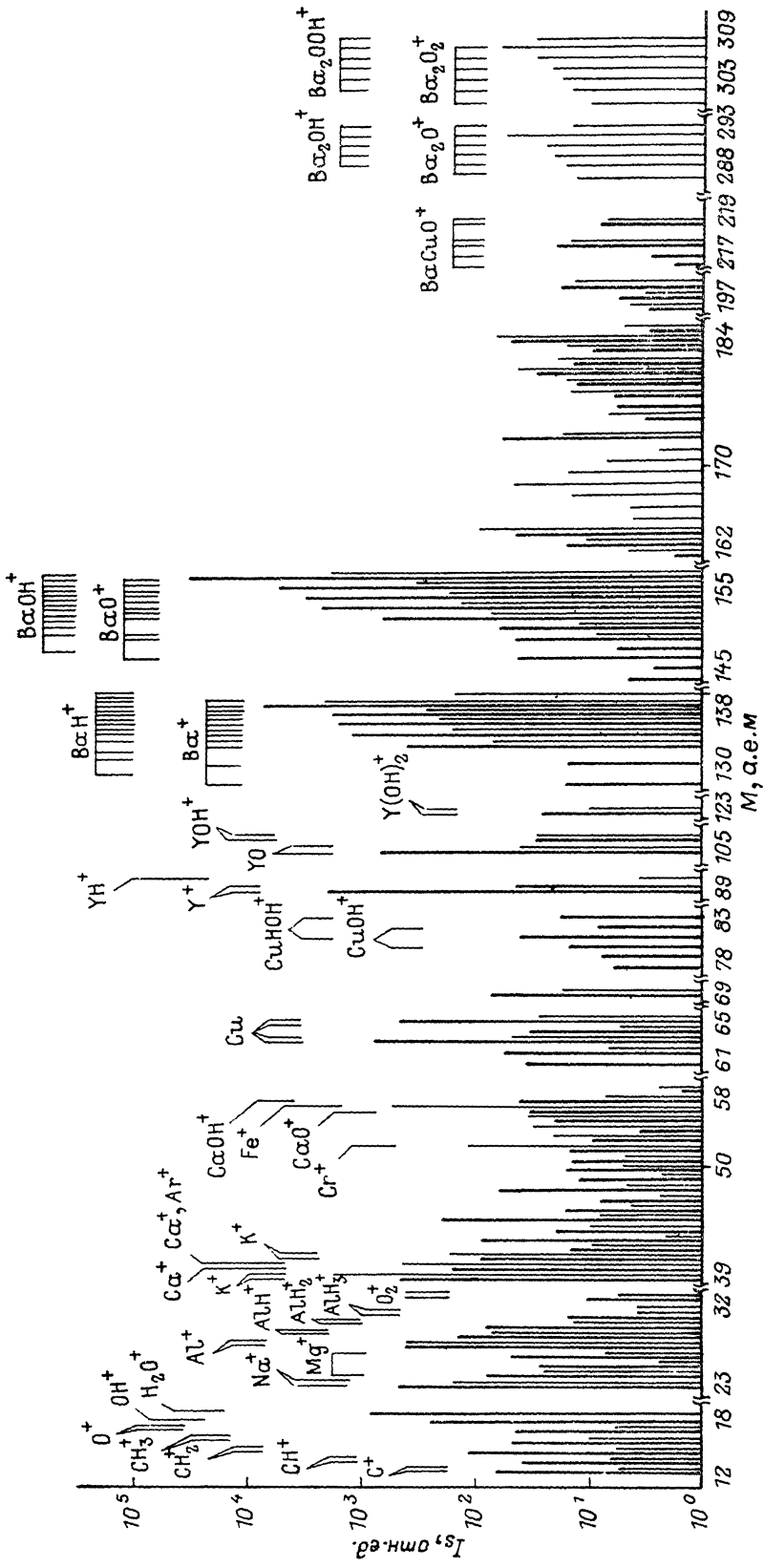


Рис. 2. Совмещенные масс-спектры I и II.

где p — парциальное давление частиц остаточного газа; v — число молекул, испаряющихся с единичной площади, покрытой данным соединением; n_0 — относительная концентрация исследуемых поверхностных соединений; α — вероятность ионизации ионов данного сорта; c — вероятность эмиссии вторичной частицы в нейтральном или заряженном состояниях; c — константа.

Для «поверхностных» соединений при очень малых плотностях J_0 ($c n_0 J_0 \ll c p + v$) интенсивность J_s масс-линий соответствующих вторичных ионов, так же как и для «объемных» соединений, оказывается пропорциональной интенсивности первичного пучка J_0 . При больших же плотностях J_0 ($c n_0 J_0 \gg c p + v$) интенсивность J_s масс-линий вторичных ионов от величины J_0 первичного пучка уже не зависит.

Поскольку масс-спектры I и II сняты на различных масс-спектрометрах (радиочастотном и магнитном соответственно), то сравнивать непосредственно абсолютные интенсивности масс-линий этих масс-спектров для количественного химического анализа представляется некорректным. Однако относительные изменения интенсивностей масс-линий вторичных ионов гидрооксидов и оксидов позволяют дать качественные оценки, относящиеся к природе и происхождению посторонних «объемных» и «поверхностных» примесных соединений. Например, если при увеличении интенсивности J_0 первичного пучка соотношение интенсивностей между линиями оксидов и гидрооксидов сохраняется постоянным, то это означает, что такие гидрооксиды в образце $\text{YBa}_2\text{Cu}_3\text{O}_{7-\delta}$ являются «объемными» примесными соединениями. Так, при разных значениях J_0 в масс-спектрах I и II соотношение интенсивностей масс-линий ионов оксидов и гидрооксидов бария оставалось практически неизменным. Следовательно, гидрооксиды бария являются в основном «объемными» примесами исходного образца $\text{YBa}_2\text{Cu}_3\text{O}_{7-\delta}$.

Иная ситуация оказалась для иттрия. Отношение интенсивностей в масс-спектре II составляло $J_{\text{YO}^+}/J_{\text{YOH}^+} \approx 1$, а в масс-спектре I оно значительно выше $J_{\text{YO}^+}/J_{\text{YOH}^+} \approx 10$. При этом интенсивность масс-линий J_{YOH^+} не возросла пропорционально J_0 , что свидетельствует в основном о «поверхностном» происхождении гидрооксидов иттрия под воздействием агрессивной среды (влаги).

Вторичные же ионы гидрооксидов меди были нами обнаружены только в масс-спектрах I. Их отсутствие в масс-спектрах II объясняется тем, что при малой плотности первичного пучка J_0 интенсивность эмиссии ионов CuOH^+ и CuNOH^+ меньше предела регистрации прибора МИ 1201Э. В масс-спектрометре МС 7201М этот предел меньше по крайней мере на два порядка, что и способствовало регистрации масс-линий вторичных ионов CuOH^+ и CuNOH^+ . Наличие пропорциональности между соответствующими интенсивностями J_s и J_0 указывает в основном на «объемное» происхождение гидрооксидов меди, содержащихся в малых количествах в исходных образцах.

Определить точные концентрации гидрооксидов бария и меди в исходных образцах $\text{YBa}_2\text{Cu}_3\text{O}_{7-\delta}$ на данном этапе исследования затруднительно вследствие отсутствия данных о коэффициентах их вторичной ионной эмиссии. Однако приближенную оценку концентраций «объемных» и «поверхностных» примесей можно дать на основе экспериментальных значений интенсивности J_s масс-линий вторичных ионов и с учетом предельной чувствительности метода ВИМС, которая достигает величины порядка 10^{-6} монослоя. Например, оценка концентрации гидрооксидов бария BaOH^+ в исследованных нами образцах $\text{YBa}_2\text{Cu}_3\text{O}_{7-\delta}$ дает величину $\sim 1\%$.

Из приведенных результатов следует, что по сравнению с другими методами исследования ВТСП керамик метод ВИМС отличается уникальными возможностями: весьма высокой чувствительностью к наличию всевозможных примесей (в диапазоне концентраций, превышающем 4–5 порядков); возможностью установления природы и происхождения чужеродных соединений независимо от того, возникают они в результате несовершенств различных способов изготовления ВТСП керамики (наличие в исходных образцах «объемных» примесей типа гидрооксидов бария, меди и др.) или же вследствие образования «поверхностных» соединений типа гидрооксидов иттрия под воздействием агрессивных средств (влаги и т. п.).

В заключение авторы выражают благодарность В. В. Демирскому за участие в изготовлении образцов, а также М. Е. Щербине и Л. Ф. Суходубу за предоставление возможности работы на масс-спектрометрах МС 7201М и МИ 1201Э.

Литература

- [1] Wu M. K., Aschburn J. R., Torgn C. J. et al. // Phys. Rev. Lett. 1987. Vol. 58. N 9. P. 908–910.

[2] Черепин В. Т.. Ионный вонд. Киев: Наукова думка, 1981. 328 с.

[3] Fogel Ya. M. // Intern. J. Mass-Spectr. and Ion Phys. 1972. Vol. 9. N 1. P. 109—125.

[4] Распыление твердых тел ионной бомбардировкой / Под ред. Р. Бериша. М.: Мир, 1984. 336 с.

Харьковский
политехнический институт
им. В. И. Ленина

Поступило в Редакцию
24 августа 1988 г.

05; 06; 07

Журнал технической физики, т. 59, в. 3, 1989

КВАНТОВО-РАЗМЕРНЫЙ ЭФФЕКТ ШТАРКА В МИКРОКРИСТАЛЛАХ ПОЛУПРОВОДНИКОВ

А. И. Екимов, А. П. Скворцов, Т. В. Шубина, С. К. Шумилов, А. Л. Эфрос

В последние годы большое внимание уделяется исследованию электрооптических эффектов в полупроводниковых системах с пониженной мерностью. Интерес к таким системам связан с тем, что в них штарковский сдвиг уровней энергии электронно-дырочных пар из-за их пространственного ограничения не сопровождается катастрофическим падением силы осциллятора соответствующих переходов. В результате экситонные состояния не разрушаются

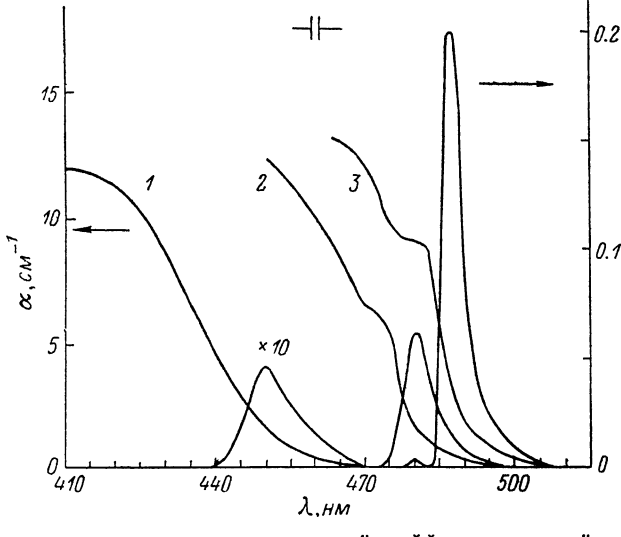


Рис. 1. Спектр поглощения α и соответствующий дифференциальный сигнал $\Delta I/I$ стекол, активированных микрокристаллами CdS различного размера a .

a , Å: 1 — 19, 2 — 54, 3 — 250.

при сдвигах, существенно превышающих величину энергии связи экситона, наблюдаемых в электрических полях, в несколько десятков раз больших, чем поле ионизации в объемном материале [1, 2]. В настоящей работе сообщается об обнаружении и исследовании эффекта Штарка в квазинульмерных структурах — полупроводниковых микрокристаллах, выращенных в диэлектрической матрице стекла.

Исследовано влияние внешнего электрического поля напряженностью до 10^5 В/см на спектры поглощения стекол, активированных микрокристаллами CdS, в области края их межзонного поглощения. К образцам прикладывалось переменное ($f \sim 5$ кГц) электрическое поле, на удвоенной частоте измерялась спектральная зависимость дифференциального сигнала электропоглощения $\Delta I(\hbar\omega)/I(\hbar\omega)$, возникающего из-за периодического сдвига края фундаментального поглощения. При этом интенсивность прошедшего через образец света